

# АСТРОФИЗИКА

ТОМ 63

НОЯБРЬ, 2020

ВЫПУСК 4

## ППН ДВИЖЕНИЕ S-ЗВЕЗД ВОКРУГ SGR A\*

Р.И.ГАЙНУТДИНОВ<sup>1,2</sup>

Поступила 1 марта 2020  
Принята к печати 26 августа 2020

В данной работе рассмотрены уравнения движения в рамках параметризованного пост-ньютонаовского (ППН) формализма для нескольких S-звезд, ближайших к релятивистски компактному объекту Sgr A\* в центре Галактики. Учен эффект разницы периодов между ньютонаовскими и пост-ニュтонаовскими орбитами. Период лучшей аппроксимирующей ПН-орбиты звезды S2 превосходит период ньютонаовской орбиты на 16 дней. Измерены ППН параметры  $\beta_{\text{PPN}}$  и  $\gamma_{\text{PPN}}$ . Для фиттинга траекторий ППН движения использованы байесовские методы. Получены постериорные оценки  $\beta_{\text{PPN}}$  и  $\gamma_{\text{PPN}}$ :  $0.97^{+0.42}_{-0.65}$  и  $0.81^{+0.46}_{-0.66}$ , соответственно. Результат подтверждает предсказания общей теории относительности для пост-ньютонаовских уравнений движения в условиях близости к Sgr A\*.

**Ключевые слова:** галактический центр: S-звезды: релятивистская небесная механика: гравитация: пост-ньютонаовское приближение: параметризованный пост-ньютонаовский формализм

1. *Введение.* S-звездами называют скопление звезд, движущихся вокруг релятивистски компактного объекта Sgr A\* в центре Галактики. Большая часть этих звезд имеет орбиты с высокими эксцентриситетами. Таким образом, они достигают высоких скоростей в перигалактике ( $\sim 0.01$  скорости света). Благодаря этому, а также близости к сверхмассивному объекту, скопление S-звезд является уникальным наблюдаемым образованием для исследований. Для S-звезд величины  $v^2/c^2$  и  $\varphi_N/c^2$  имеют порядки  $\sim 10^{-4}$ , в то время как для двойных систем нейтронных звезд они составляют  $\sim 10^{-6}$ . Таким образом, пост-ньютонаовские орбитальные поправки S-звезд являются тестом для новой области эффектов релятивистской гравитации. Мы рассматриваем применение пост-ньютонаовских законов орбитального движения, а также визуальные различия от ньютонаовских. Пост-ньютонаовские эффекты также могут быть использованы для проверки различных теорий гравитации. В данной работе получена оценка для пост-ньютонаовских параметров (ППН параметров)  $\beta_{\text{PPN}}$  и  $\gamma_{\text{PPN}}$ . Хотя эти параметры уже были измерены в солнечной системе и системах двойных нейтронных звезд, в нашем случае их можно оценить из прямых наблюдений пост-ньютонаовских орбит, не используя моделирование частот пульсаров. Современные наблюдения S-звезд [1-4] предоставляют нам такую возможность.

Начало этих наблюдений пришлось на 1992г. С тех пор накопились большие массивы наблюдательных данных. Скопление S-звезд часто использовалось в разнообразных исследованиях [5-14]. В работе [15] авторы показали, что обнаружение новой звезды, более близкой к гравитирующему центру, чем уже известные S-звезды, маловероятно.

Звезда S2 (иногда также обозначаемая как S0-2) - наиболее популярная из S-звезд, поскольку она имеет самые точные наблюдения визуальных положений и лучевых скоростей, а также один из наименьших периодов обращения - 16 лет. Эта звезда прошлаperiцентр своей орбиты дважды с момента начала наблюдений. Первое прохождение произошло в 2002г., следующее - в мае 2018г. S2 сыграла ключевую роль во многих работах: измерение расстояния до центра Галактики  $R_0$  и массы Sgr A\*  $\mathfrak{M}$  [16,4,17]; исследование вращения черной дыры в центре Галактики [18-21]; исследование аккреционных потоков и звездного ветра [22,23]; применение различных теорий гравитации: [24-26] - гравитация Юкавы, [27] - скалярное поле, [28,29] -  $R^n$  теории, [30] - нелокальная гравитация и прочие теории: [31-33]; проверка эффектов ОТО [34,35]; и прочие исследования [36,10]. Прохождениеperiцентра звездой S2 в мае 2018г. использовалось при исследовании гравитационного красного смещения [3,37].

Звезды S2, S38 и S55 (также известная как S0-102) имеют наименьшие периоды обращения, и поэтому представляют наибольший интерес для нас. S55 обладает самым коротким периодом. Он составляет  $\sim 12$  лет.

Близость к сверхмассивной черной дыре и высокие скорости S-звезд являются основой для исследований пост-ньютоновского движения [38,41], которое является главной темой данной работы. Рассмотрены не просто пост-ニュтоновские, а параметризованные пост-ニュтоновские законы движения. Использованы методы байесовской статистики для получения оценок  $\beta_{\text{PPN}}$  и  $\gamma_{\text{PPN}}$  из постериорных распределений.

**2. Наблюдательные данные.** S-звезды имеют два типа наблюдательных данных: визуальные положения звезд, т.е. астрометрические данные (прямое восхождение  $\alpha$  и склонение  $\delta$ , отнормированные на гравитирующий центр - Sgr A\*), и лучевые скорости (RV) звезд - спектроскопические данные. Sgr A\* также движется по небесной сфере, поэтому визуальные положения звезд приводятся с нормировкой на положение Sgr A\* в начальную эпоху (1992.224). Наблюдаемые лучевые скорости приведены без учета эффекта Доплера второго порядка. Поэтому мы не можем напрямую сопоставлять моделируемые нами лучевые скорости с наблюдаемыми. Существует необходимость их преобразования по формуле (16).

Современные наблюдения представлены в работах [1-4]. Наиболее

подробные данные приведены в статье [4]. Оттуда мы используем данные для звезд S2 (145 астрометрических и 44 RV измерений), S38 (116 астрометрических и 5 RV измерений) и S55 (44 астрометрических и 2 RV измерения). Эти данные получены на комплексе VLT. В работе [2] содержится 12 новых RV измерений S2, в то время как оставшиеся измерения дублируют данные [1,4]. Работа [1] содержит 34 RV измерения S2, 1 RV измерение S38, и 34 астрометрических измерения S38. Эти данные получены в обсерватории имени Кека. Самые свежие данные для звезды S2 приведены в статье [3], где новыми являются 11 астрометрических и 28 RV измерений, некоторые из которых получены на телескопе Субару.

В конечном итоге мы имеем массив из 156 астрометрических положений и 118 лучевых скоростей для S2, 150 положений и 6 лучевых скоростей для S38 и 44 положения и 2 лучевые скорости для S55. Все измерения лучевых скоростей уже имеют VLSR-коррекцию. Астрометрические позиции, взятые из разных работ, имеют слегка отличающуюся нормировку на гравитирующий центр, и поэтому они соответствуют немного отличающимся системам отсчета.

### 3. Фиттинг орбит.

**3.1. Методы сравнения.** Как известно, на плоскости кеплеровы орбиты определяются 4 параметрами: большая полуось  $a$ , эксцентриситет  $e$ , аргумент перигалактика  $\omega$  и эпоха прохождения перигалактика  $t_{\text{per}}$ . Эти параметры соответствуют фазовому вектору  $(x, y, \dot{x}, \dot{y})$  на фиксированную эпоху. В рамках ньютонаовского движения кеплеровы параметры постоянны, но в пост-ニュтонаовском случае они становятся осциллирующими. Поэтому для нас имеет смысл использовать другие параметры, например вышеупомянутый начальный фазовый вектор  $(x_0, y_0, \dot{x}_0, \dot{y}_0)$ . Такие параметры можно использовать в качестве начальных данных для интегратора Рунге-Кутты 4 порядка, с помощью которого мы будем получать моделируемую траекторию в ее собственной плоскости. Чтобы повернуть саму плоскость орбиты, мы используем оставшиеся 2 параметра: наклонение  $i$  и долготу восходящего узла  $\Omega$ .

Получаемые траектории в пост-ニュтонаовском и ньютонаовском случае должны получаться различными для одинаковых начальных данных  $(x_0, y_0, \dot{x}_0, \dot{y}_0)$ . Апоцентр ньютонаовской орбиты должен быть меньше, чем у пост-ニュтонаовской. Последняя также имеет эффект смещения перигалактика, но он проявляется крайне слабо.

В табл.1 приведены значения смещения перигалактика для некоторых S-звезд. Величина  $\Delta\omega$  есть смещение перигалактика на один синодический период. Такие смещения будут едва видимы напрямую даже после ста лет наблюдений.

Мы также можем использовать разные начальные значения  $(x_0, y_0, \dot{x}_0, \dot{y}_0)$

Таблица 1

## ВЕЛИЧИНЫ СМЕЩЕНИЯ ПЕРИЦЕНТРА ДЛЯ S-ЗВЕЗД

Звезда	S2	S38	S55
$\Delta\omega$ $\dot{\omega}$ $\dot{\omega} \cdot 100$ лет	12' 45"/год 1°15'	7.1 22"/год 37'	6.7 31"/год 52'

для ньютоновского и пост-ニュтоновского случаев, чтобы получить орбиты одинакового размера. Разница будет заключаться в том, что в пост-ニュтоновском случае скорость в перигалактике будет меньше, чем в ньютоновском. Поэтому для этих орбит будут отличаться их периоды. В пост-ニュтоновском случае период должен получиться больше. Таким образом, мы получаем чисто кинематический эффект некоторой "задержки". В этом заключается значительная качественная разница между ньютоновским и пост-ニュтоновским движением. В нашем случае, мы будем использовать технику МСМС (Markov chain Monte Carlo), чтобы получить наилучшие аппроксимирующие пост-ニュтоновские и ньютоновские орбиты и сравнить их периоды.

**3.2. ППН уравнения движения.** Рассмотрим решение Шварцшильда уравнений Эйнштейна

$$ds^2 = \left(1 - \frac{2\mu}{r}\right) c^2 dt^2 - \frac{dr^2}{\left(1 - \frac{2\mu}{r}\right)} - r^2 d\Omega^2, \quad (1)$$

где  $\mu = GM/c^2$  - это гравитационный радиус и  $d\Omega^2 = d\theta^2 + \sin^2\theta d\phi^2$  - метрика на единичной сфере. Использованная здесь система координат называется стандартной (или шварцшильдовской)  $(t, r, \theta, \phi)$ . Угловые координаты  $\theta, \phi$  имеют привычный геометрический смысл полярного и азимутального углов. Круг одинаковой радиальной координаты  $r$  имеет длину  $2\pi r$ . Но  $r$  не равно расстоянию от круга до его центра. В этом заключается геометрический смысл координат Шварцшильда [42].

Имеет смысл рассмотреть иную систему координат - изотропную  $(t, \rho, \theta, \phi)$ . Она часто используется в задачах релятивистской небесной механики, в то время как координаты Шварцшильда являются "чересчур точными" ([43], с.1097). При преобразовании координат из шварцшильдовских в изотропные затрагивается только радиальная координата

$$r = \rho \left(1 + \frac{\mu}{2\rho}\right)^2, \quad (2)$$

где видно, что  $r$  и  $\rho$  асимптотически эквивалентны. Однако наблюдаемые

напрямую расстояния между Sgr A\* и S-звездами соответствуют евклидовой геометрии нашей отдаленной наблюдательной системы отсчета. Следовательно, эволюция параметров орбиты подчинена конкретному виду уравнений движения.

Преимущества изотропной системы координат проявляются в самом виде соответствующей метрики

$$ds^2 = \frac{\left(1 - \frac{\mu}{2\rho}\right)^2}{\left(1 + \frac{\mu}{2\rho}\right)^2} c^2 dt^2 - \left(1 + \frac{\mu}{2\rho}\right)^4 (d\rho^2 + \rho^2 d\Omega^2). \quad (3)$$

Пространственная ее часть конформно евклидова. Таким образом, сферические изотропные координаты  $(t, \rho, \theta, \phi)$  можно преобразовать в декартовы изотропные координаты  $(t, x, y, z)$ , сохраняя форму метрики. Такие координаты отличаются от декартовых в привычном смысле этого слова. Но в нашем приближении их можно считать именно обычными декартовыми координатами. Метрика в такой системе имеет вид

$$ds^2 = \frac{\left(1 - \frac{\mu}{2|\mathbf{x}|}\right)^2}{\left(1 + \frac{\mu}{2|\mathbf{x}|}\right)^2} c^2 dt^2 - \left(1 + \frac{\mu}{2|\mathbf{x}|}\right)^4 d\mathbf{x}^2. \quad (4)$$

Далее, введем величину ньютоновского потенциала  $\varphi_N = -GM/\rho = -c^2 \mu/|\mathbf{x}|^2$

$$ds^2 = \frac{\left(1 + \frac{\varphi_N}{2c^2}\right)^2}{\left(1 - \frac{\varphi_N}{2c^2}\right)^2} c^2 dt^2 - \left(1 - \frac{\varphi_N}{2c^2}\right)^4 d\mathbf{x}^2. \quad (5)$$

Чтобы получить пост-ニュтоновскую аппроксимацию первого порядка, разложим  $g^{00}$  до порядка  $O(c^{-6})$  и  $g^{xx}$  до порядка  $O(c^{-4})$

$$ds^2 = \left(1 + \frac{2\varphi_N}{c^2} + \frac{2\varphi_N^2}{c^4} + O(c^{-6})\right) c^2 dt^2 - \left(1 - \frac{2\varphi_N}{c^2} + O(c^{-4})\right) d\mathbf{x}^2. \quad (6)$$

В рамках параметризованного пост-ニュтоновского формализма это разложение выглядит как

$$ds^2 = \left(1 + \frac{2\varphi_N}{c^2} + \beta_{PPN} \frac{2\varphi_N^2}{c^4} + O(c^{-6})\right) c^2 dt^2 - \left(1 - \gamma_{PPN} \frac{2\varphi_N}{c^2} + O(c^{-4})\right) d\mathbf{x}^2, \quad (7)$$

где значения  $\beta_{PPN}$  и  $\gamma_{PPN}$  различны для различных теорий гравитации. Случай  $\beta_{PPN} = 1$  и  $\gamma_{PPN} = 1$  соответствует общей теории относительности.

Деление (7) на  $c^2 dt^2$  приводит к

$$\begin{aligned} \frac{1}{c^2} \left( \frac{ds}{dt} \right)^2 &= \left( 1 + \frac{2\varphi_N}{c^2} + \beta_{\text{PPN}} \frac{2\varphi_N^2}{c^4} + O(c^{-6}) \right) - \left( 1 - \gamma_{\text{PPN}} \frac{2\varphi_N}{c^2} + O(c^{-4}) \right) \frac{\dot{\mathbf{x}}^2}{c^2} = \\ &= 1 - \frac{\dot{\mathbf{x}}^2}{c^2} + \frac{2\varphi_N}{c^2} + \gamma_{\text{PPN}} \frac{2\varphi_N \dot{\mathbf{x}}^2}{c^4} + \beta_{\text{PPN}} \frac{2\varphi_N}{c^4} + O(c^{-6}). \end{aligned} \quad (8)$$

Возьмем квадратный корень с точностью  $O(c^{-6})$

$$\frac{1}{c} \frac{ds}{dt} = 1 - \frac{\dot{\mathbf{x}}^2}{2c^2} + \frac{\varphi_N}{c^2} - \frac{\dot{\mathbf{x}}^2}{8c^4} + \left( 1 + 2\gamma_{\text{PPN}} \right) \frac{\varphi_N \dot{\mathbf{x}}^2}{2c^4} + \left( 2\beta_{\text{PPN}} - 1 \right) \frac{\varphi_N^2}{2c^4} + O(c^{-6}). \quad (9)$$

Уравнения движения могут быть получены из вариационного принципа

$$\delta \int ds = \delta \int \left( \frac{ds}{dt} \right) dt = 0, \quad (10)$$

где  $ds/dt$  определено из (9). Умножая (9) на  $-c^2$ , избавляясь от постоянного члена и опуская  $O(c^{-6})$ , получим Лагранжиан

$$L = \frac{\dot{\mathbf{x}}^2}{2} \left( 1 + \frac{\dot{\mathbf{x}}^2}{4c^2} - \left( 1 + 2\gamma_{\text{PPN}} \right) \frac{\varphi_N}{c^2} \right) - \varphi_N \left( 1 + \left( 2\beta_{\text{PPN}} - 1 \right) \frac{\varphi_N}{2c^2} \right). \quad (11)$$

Соответствующие уравнения движения будут иметь вид

$$\ddot{\mathbf{x}} = -\nabla \varphi_N \left( 1 + 2(\beta_{\text{PPN}} + \gamma_{\text{PPN}}) \frac{\varphi_N}{c^2} + \gamma_{\text{PPN}} \frac{\dot{\mathbf{x}}^2}{c^2} \right) + (2\gamma_{\text{PPN}} + 2) \left( \nabla \varphi_N \frac{\dot{\mathbf{x}}}{c} \right) \frac{\dot{\mathbf{x}}}{c}. \quad (12)$$

Это ПН уравнения движения. Чтобы получить ПН уравнения, нужно подставить величины  $\beta_{\text{PPN}} = 1$  и  $\gamma_{\text{PPN}} = 1$  в (12)

$$\ddot{\mathbf{x}} = -\nabla \varphi_N \left( 1 + 4 \frac{\varphi_N}{c^2} + \frac{\dot{\mathbf{x}}^2}{c^2} \right) + 4 \left( \nabla \varphi_N \frac{\dot{\mathbf{x}}}{c} \right) \frac{\dot{\mathbf{x}}}{c}. \quad (13)$$

Обе системы (12), (13) сводятся к ньютоновским уравнениям движения ( $\ddot{\mathbf{x}} = -\nabla \varphi_N$ ) при рассмотрении предела бесконечной скорости света.

**3.3. Распространение света.** Прямое интерпретирование модельной траектории как наблюдаемой некорректно, поскольку ПН эффекты затрагивают также распространение света.

S-звезды достигают высоких скоростей в перигалактике, а значит нужно учитывать эффект Доплера второго порядка. Изменение частоты можно найти по формуле

$$\omega_0 = \omega \frac{1 - \frac{v}{c} \cos \alpha}{\sqrt{1 - \frac{v^2}{c^2}}} = \omega \frac{1 + RV_{\text{model}}/c}{\sqrt{1 - \frac{v^2}{c^2}}} \approx \omega \left( 1 + \frac{RV_{\text{model}}}{c} + \frac{v^2}{2c^2} \right), \quad (14)$$

где  $\omega$  - наблюдаемая, а  $\omega_0$  - испущенная частота,  $v$  - скорость источника

относительно наблюдателя и  $\alpha$  - угол между вектором скорости  $\vec{v}$  и направлением от источника к наблюдателю.

S-звезды расположены близко к сверхмассивному объекту. Гравитационное поле достаточно сильно, чтобы гравитационное красное смещение стало наблюдаемым эффектом. Поэтому мы должны учесть и его.

$$\omega_0 = \omega \sqrt{g^{00}} \approx \omega \left( 1 + \frac{\Phi_N}{c^2} \right). \quad (15)$$

В результате, учет эффекта Доплера (14) и гравитационного красного смещения (15) приводит к формуле

$$\frac{RV_{\text{obs}}}{c} = \frac{RV_{\text{model}}}{c} + \frac{\Phi_N}{c^2} + \frac{v^2}{2c^2}. \quad (16)$$

Еще одним важным эффектом в распространении света является задержка Ремера, вызванная конечностью скорости распространения света. Разница между ближайшей к нам и наиболее отдаленной точками орбиты для некоторых S-звезд достигает нескольких световых дней. Поэтому данный эффект также должен быть учтен.

Что касается гравитационного линзирования, то S-звезды расположены не настолько близко к Sgr A\*, чтобы оно было детектируемо. Поэтому мы не будем рассматривать этот эффект.

**3.4. ППН параметры Брумберга.** Задача движения безмассовой частицы в статичном гравитационном поле также была рассмотрена Брумбергом [44]. Он рассмотрел общее решение для разных систем координат. Выбор конкретной координатной системы определяется параметром  $\alpha$ :  $\alpha = 1$  соответствует стандартным (шварцшильдовским) координатам,  $\alpha = 0$  соответствует изотропным и гармоническим координатам. Также он определил набор параметров ( $A, B, K$ ), который обобщает задачу для различных теорий гравитации, точно так же, как и ППН параметры. В работе [44] приведены значения этих параметров для ОТО

$$A = 2, \quad B = K = 2(1 - \alpha). \quad (17)$$

Эти координаты зависят от выбора координатной системы  $\alpha$ . В [44] также выведены ПН уравнения движения для шварцшильдовских координат ( $\alpha = 1$ ):

$$\ddot{\mathbf{x}} = -\nabla \Phi_N \left( 1 + 2 \frac{\Phi_N}{c^2} + 2 \frac{\dot{\mathbf{x}}^2}{c^2} - 3 \left( \frac{\mathbf{x}}{x} \frac{\dot{\mathbf{x}}}{c} \right) \right) + 2 \left( \nabla \Phi_N \frac{\dot{\mathbf{x}}}{c} \right) \frac{\dot{\mathbf{x}}}{c}. \quad (18)$$

В этом случае наблюдаемые напрямую (отдаленным наблюдателем) орбиты могут быть рассчитаны с помощью интегрирования уравнений (18). Наблюданная эволюция орбитальных параметров для шварцшильдовских

координат ( $\alpha = 1$ ) будет отличаться от таковой для системы изотропных координат ( $\alpha = 0$ ), которая является конформно евклидовой.

**3.5. Использованные техники.** Модель строится следующим образом:

- Параметры  $(x_0, y_0, \dot{x}_0, \dot{y}_0)$  используются в качестве начального приближения для интегратора Рунге-Кутты 4 порядка, с помощью которого численно интегрируются уравнения движения (13) (или (12) для определенных параметров  $\beta_{\text{PPN}}$ ,  $\gamma_{\text{PPN}}$ ). Центральная гравитирующая масса Sgr A\*  $\mathfrak{M}$  используется в качестве параметра. В результате получается массив фазовых векторов  $(x, y, \dot{x}, \dot{y})$ , который на самом деле является представлением траектории в ее собственной плоскости.

- Производится поворот траектории на углы  $i$  и  $\Omega$ .
- После вращения орбита преобразуется в наблюдаемые прямое восхождение и склонение путем деления на расстояние до центра Галактики  $R_0$  и учета собственного движения Sgr A\*  $\dot{\alpha}_{\text{SgrA}_*}$ ,  $\dot{\delta}_{\text{SgrA}_*}$ .
- Полученные в результате интегрирования лучевые скорости преобразуются в наблюдаемые RV по формуле (16). На этом этапе также должно быть учтено собственное движение Sgr A\*  $\dot{r}_{\text{SgrA}_*}$ .
- Модельные  $\alpha$ ,  $\delta$  и RV интерполируются. На этом шаге учитывается задержка Ремера.

В конечном итоге мы имеем 13 параметров: 6 из них определяют орбиту, 2 параметра - это  $\beta_{\text{PPN}}$  и  $\gamma_{\text{PPN}}$ , которые мы хотим определить, а оставшиеся 5 параметров ( $\mathfrak{M}$ ,  $R_0$ ,  $\dot{\alpha}_{\text{SgrA}_*}$ ,  $\dot{\delta}_{\text{SgrA}_*}$ ,  $\dot{r}_{\text{SgrA}_*}$ ) мы будем считать постоянными. Их значения можно найти в работе [4].

Если же мы рассмотрим 3 звезды (S2, S38, S55), то получим 18 орбитальных параметров и 2 ППН параметра  $\beta$ ,  $\gamma$ . Мы используем MCMC-сэмплирование (реализованное в библиотеке *emcee* для языка Python), чтобы найти постериорное распределение этих параметров и их оценки.

#### 4. Результаты.

**4.1. Разница периодов обращения.** На рис.1 представлено различие между наилучшими аппроксимирующими пост-ньютоновской и ньютоновской орбитами звезды S2. Серая кривая соответствует пост-ньютоновской траектории, а черная - ньютоновской. Нетрудно заметить растущий со временем зазор между этими двумя случаями. Это и есть та самая "задержка", о которой мы говорили ранее.

Величина этой "задержки" составляет 16 дней за один орбитальный период. Эта величина не мала, поскольку неточности по временной шкале очень существенны для наблюдений S-звезд, что нетрудно заметить хотя бы на графике лучевых скоростей, на котором наблюдается сильный наклон во время прохожденийperiцентра, связанный с движением с высокой скоростью. Эта

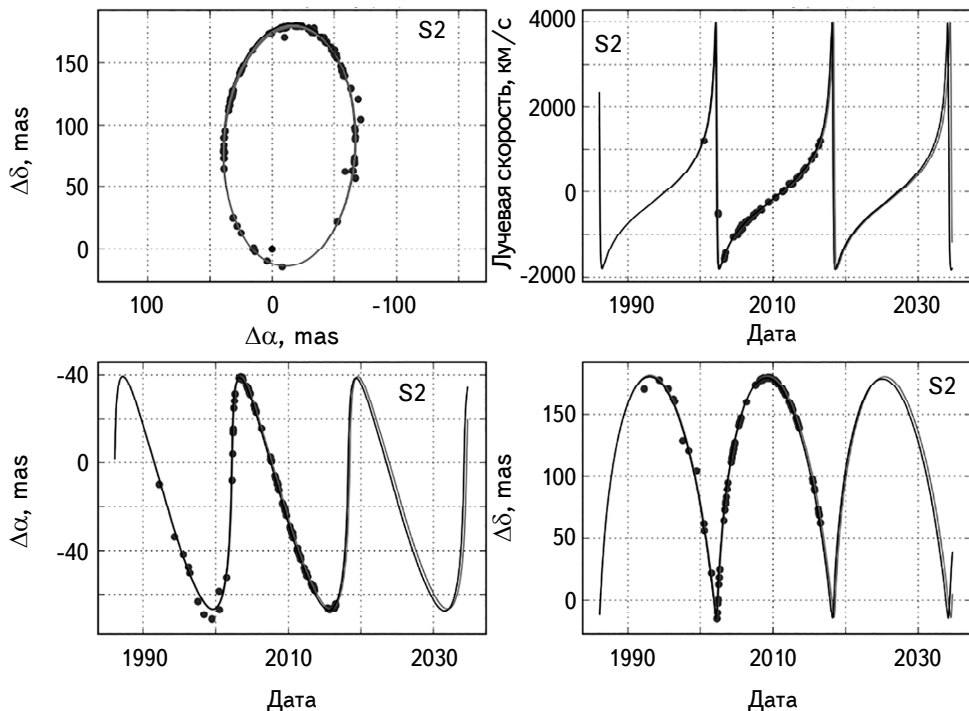


Рис.1. Разница между ньютоновской и пост-ニュートоновской орбитами S2.

неточность во времени влечет за собой неправильное определение положения этих наклонов. Этот эффект будет еще более значителен в будущем, когда звезда S2 совершил еще большее число оборотов по своей орбите.

Согласно нашим оценкам, дата следующего прохожденияperiцентра звезды S2 - это 18 мая 2034г.

**4.2. Оценки ППН параметров.** Мы запустили процесс МСМС, который моделировал одновременно движение S2, S38 и S55 для заданных параметров  $\beta_{\text{PPN}}$  и  $\gamma_{\text{PPN}}$ . На рис.2 приведены постериорные распределения параметров  $\beta_{\text{PPN}}$  и  $\gamma_{\text{PPN}}$  в проекции на их подпространство.

Процесс МСМС был запущен с 10000 итерациями. Оценки ППН параметров таковы

$$\beta_{\text{PPN}} = 0.97^{+0.42}_{-0.65}, \quad \gamma_{\text{PPN}} = 0.81^{+0.46}_{-0.60},$$

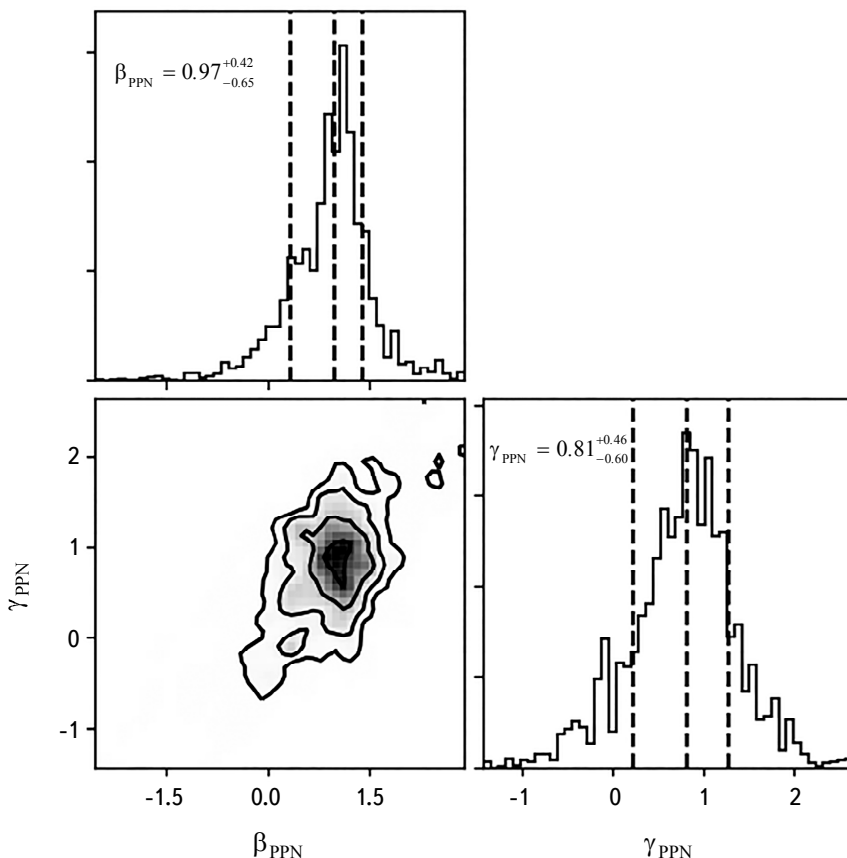
где погрешности определены как квантили уровней 1/6 и 5/6 постериорных распределений.

Несмотря на то, что результат соответствует предсказаниям ОТО, такой метод определения  $\beta_{\text{PPN}}$  и  $\gamma_{\text{PPN}}$  оказался крайне неточным. Причиной тому является несильное влияние отклонений ППН параметров на наблюдаемую картину.

Таблица 2

## ОБРАЗОВАНИЕ ПАРАМЕТРОВ S-ЗВЕЗД

Звезда	$x_0$ , $\mu$	$y_0$ , $\mu$	$\dot{x}_0$ , $\text{км с}^{-1}$	$\dot{y}_0$ , $\text{км с}^{-1}$	$i$ , $^\circ$	$\Omega$ , $^\circ$
S2	$22954.8^{+4.0}_{-1.5}$	$37481.5^{+8.9}_{-2.0}$	$-219.84^{+0.62}_{-0.79}$	$604.74^{+0.99}_{-0.22}$	$133.86^{+0.07}_{-0.06}$	$226.10^{+0.08}_{-0.08}$
S38	$50102^{+5}_{-2}$	$69295^{+1}_{-7}$	$67^{+5}_{-2}$	$588^{+1}_{-3}$	$169.9^{+2.6}_{-0.8}$	$93.39^{+0.14}_{-0.11}$
S55	$32342^{+8.0}_{-3}$	$-8724.1^{+0.8}_{-2.1}$	$-344.8^{+6.8}_{-1.1}$	$1004.9^{+1.3}_{-2.5}$	$152.7^{+1.4}_{-1.0}$	$323.3^{+0.7}_{-0.5}$

Рис.2. Постериорное распределение, угловой график  $\beta_{\text{PPN}}$ ,  $\gamma_{\text{PPN}}$ .

Постериорные оценки орбитальных параметров S-звезд приведены в табл.2. Нетрудно заметить, что эти параметры определены намного точнее, чем ППН параметры. На рис.3 изображены наилучшие аппроксимирующие ПН орбиты для этих звезд и кривая лучевых скоростей звезды S2.

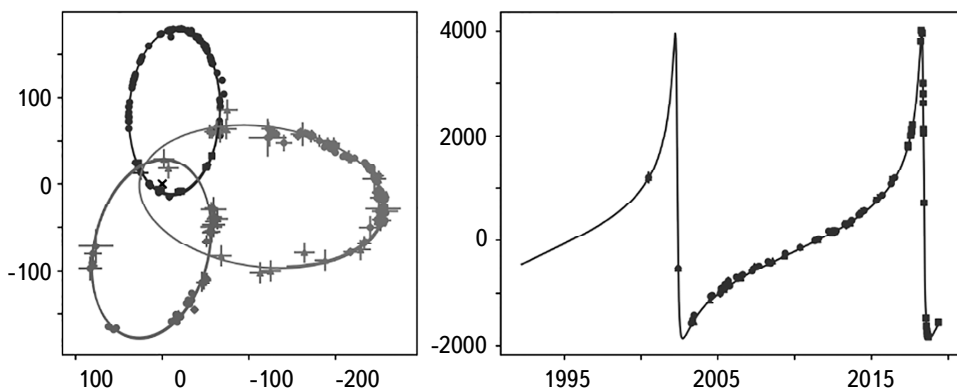


Рис.3. Слева: траектории звезд S2, S38 и S55; Справа: лучевые скорости S2.

**5. Выход.** В данной работе использованы пост-ньютонаовские уравнения движения для проведения анализа орбитальных параметров нескольких S-звезд. Для звезды S2 наилучший аппроксимирующий орбитальный период в пост-ньютонаовском случае оказался на 16 дней длиннее, чем таковой в ньютонаовском. Эта разница велика. В случае движения S-звезд, неточности во временной оси оказываются существенными, особенно во время прохождения перигея. Учитывая этот эффект, мы получили параметры орбит звезд S2, S38 и S55, представленные в табл.2. Дата следующего прохождения перигея звезды S2, предсказываемая нами - 18 мая 2034г.

Помимо этого, мы оценили ППН параметры. С помощью методов байесовской статистики был произведен фиттинг орбит и кривых лучевых скоростей, получаемых из параметризованных пост-ньютонаовских законов движения. Постериорные оценки  $\beta_{\text{PPN}}$  и  $\gamma_{\text{PPN}}$  -  $0.97^{+0.42}_{-0.65}$  и  $0.81^{+0.46}_{-0.60}$ , соответственно. Для орбитальных движений S-звезд величины  $v^2/c^2$  и  $\phi_N/c^2$  имеют порядки  $\sim 10^{-4}$ . Поэтому наш результат подтверждает предсказания общей теории относительности для пост-ньютонаовских уравнений движения (соответствующих изотропным и гармоническим системам координат) в условиях близости к Sgr A\*.

Данная работа выполнена по государственному контракту САО РАН, одобренному министерством науки и высшего образования Российской Федерации.

<sup>1</sup> Специальная астрофизическая обсерватория РАН,  
Россия, e-mail: roustique.g@gmail.com

<sup>2</sup> Санкт-Петербургский государственный университет, Россия

## PPN MOTION OF THE S-STARS AROUND SGR A\*

R.I.GAINUTDINOV<sup>1,2</sup>

Parametrized Post-Newtonian (PPN) equations of motion for several S-stars nearest to the Galactic Center compact relativistic object SgrA\* are considered. The effect of the orbital periods difference between Newtonian and Post-Newtonian cases is taken into account. The best fit PN orbit of S2 has a period which is 16 days longer than Newtonian one. The PPN parameters  $\beta_{\text{PPN}}$  and  $\gamma_{\text{PPN}}$  are measured. Bayesian sampling is used to fit the trajectories of the PPN laws of motion. Posterior estimates of  $\beta_{\text{PPN}}$  and  $\gamma_{\text{PPN}}$  are  $0.97^{+0.42}_{-0.65}$  and  $0.81^{+0.46}_{-0.60}$  respectively. The result confirms General Relativity prediction for the Post-Newtonian equations of motion in the conditions of orbital motions in vicinity of the SgrA\*.

*Keywords:* *galactic center: S-stars: relativistic celestial mechanics: gravitation: post-Newtonian approximation: parametrized post-Newtonian formalism*

## ЛИТЕРАТУРА

1. *A.Boehle et al.*, *Astrophys. J.*, **830**, 17, 2016.
2. *D.S.Chu et al.*, *Astrophys. J.*, **854**, 12, 2018.
3. *T.Do et al.*, *Science*, **365**, 664, 2019.
4. *S.Gillessen et al.*, *Astrophys. J.*, **837**, 30, 2017.
5. *A.Eckart et al.*, *Mon. Not. Roy. Astron. Soc.*, **331**, 917, 2002.
6. *R.Genzel et al.*, *Astrophys. J.*, **594**, 812, 2003.
7. *S.Gillessen et al.*, *Astrophys. J.*, **692**, 1075, 2009.
8. *S.Gillessen et al.*, *Astrophys. J.*, **707**, L114, 2009.
9. *M.Habibi et al.*, *Astrophys. J.*, **847**, 120, 2017.
10. *T.Lacroix*, *Astron. Astrophys.*, **619**, A46, 2018.
11. *N.Mouawad et al.*, *Astron. Nachr.*, **326**, 83, 2005.
12. *S.Nishiyama et al.*, *Publ. Astron. Soc. Japan*, **70**(4), 74, 2018.
13. *R.Schödel et al.*, *Astron. Nachr.*, **324**, 535, 2003.
14. *R.Schödel et al.*, *Astrophys. J.*, **596**, 1015, 2003.
15. *M.Zajaček, A.A.Tursunov*, *Astron Nachr.*, **339**, 324, 2018.
16. *F.Eisenhauer et al.*, *Astrophys. J.*, **597**, L121, 2003.
17. GRAVITY Collaboration (R.Abuter et al.), *Astron. Astrophys.*, **625**, L10, 2019.
18. *L.Iorio*, *Phys. Rev. D*, **84**, 124001, 2011.

19. *J.H.Jørgensen, O.E.Bjelde, S.Hannestad*, Mon. Not. Roy. Astron. Soc., **458**, 3614, 2016.
20. *I.Waisberg et al.*, Mon. Not. Roy. Astron. Soc., **476**, 3600, 2018.
21. *F.Zhang, Y.Lu, Q.Yu*, Astrophys. J., **809**, 127, 2015.
22. *I.M.Christie et al.*, Mon. Not. Roy. Astron. Soc., **459**, 2420, 2016.
23. *M.Shcartmann, A.Burkert, A.Ballone*, Astron. Astrophys., **616**, L8, 2018.
24. *D.Borka et al.*, J. Cosmol. Astropart. Phys., **11**, 050, 2013.
25. *A.F.Zakharov*, EPJ Web of Conf., **191**, 01010, 2018.
26. *A.F.Zakharov et al.*, J. Cosmol. Astropart. Phys., **04**, 050, 2018.
27. GRAVITY Collaboration (A.Amorim et al.), Mon. Not. Roy. Astron. Soc., **489**, 4606, 2019.
28. *D.Borka et al.*, Phys. Rev. D, **85**, 124004, 2012.
29. *A.F.Zakharov et al.*, Adv. in Space Res., **54**, 1108, 2014.
30. *K.F.Dialektopoulos et al.*, Phys. Rev. D, **99**, 044053, 2019.
31. *D.Borka et al.*, Astropart. Phys., **79**, 41, 2016.
32. *M.Rahman, A.A.Sen*, Phys. Rev. D, **99**, 024052, 2019.
33. *A.F.Zakharov et al.*, J. Cosmol. Astropart. Phys., **05**, 045, 2016.
34. *M.Gould et al.*, Astron. Astrophys., **608**, A60, 2017.
35. *L.Iorio*, Mon. Not. Roy. Astron. Soc., **411**, 453, 2011.
36. *A.Gualandris, S.Gillessen, D.Merritt*, Mon. Not. Roy. Astron. Soc., **409**, 1146, 2010.
37. GRAVITY Collaboration (R.Abuter et al.), Astron. Astrophys., **615**, L15, 2018.
38. *L.Iorio, F.Zhang*, Astrophys. J., **839**, 3, 2017.
39. *M.Parsa et al.*, Astrophys. J., **845**, 22, 2017.
40. *M.Preto, P.Saha*, Astrophys. J., **703**, 1743, 2009.
41. *H.Saida et al.*, Publ. Astron. Soc. Japan, **71**(6), 128, 2019.
42. *L.D.Landau, E.M.Lifshitz*, The Classical Theory of Fields, Pergamon, Oxford, 1971.
43. *C.Misner, K.Thorne, J.Wheeler*, Gravitation, Freeman, San Francisco, 1973.
44. *V.A.Brumberg*, Essential relativistic celestial mechanics, Adam Hildger IOP Publ. Ltd, N.Y., 1991.

